

近畿大学理工学部 正会員 久武勝保
University of Illinois E.J. Cording1.はじめに

本研究は、トンネル挙動に及ぼす地山の応力-ひずみ関係の非線形性、残留強度の影響を明らかにしようとしたものであり、理論解析に当っては、ピーク強度まではKondnerの非線形応力-ひずみ式が用いられる。また、ピーク強度、残留強度に対しては、新たに非線形強度基準が提案され、Flow rule の適用により、ピーク強度後の体積膨張が評価されてい。なお、理論解析を容易にするために、トンネルは円形、等方初期応力状態、そして2次元平面歪問題とした。

2.地山の力学モデル2.1 応力-ひずみ関係

ピーク強度までは、八面体空間上の双曲線応力-ひずみ関係が用いられる（図-1参照）。

$$\sigma_{oct} = \frac{E_i}{e_i + f_i \cdot \epsilon_{oct}} \quad (1)$$

$$e_i = 1/E_i, \quad f_i = R_f / \sigma_{oct,f}, \quad R_f = \sigma_{oct,f} / \sigma_{oct,ult}$$

E_i : 初期接線係数、 $\sigma_{oct,f}$: 計測される最大応力、 $\sigma_{oct,ult}$: 双曲線モデルの終局応力。

E_i 、 $\sigma_{oct,f}$ は共に拘束圧の関数とするが、その比 $E_i / \sigma_{oct,f}$ は一定と仮定する。また、体積変化の主成分は降伏後に生じることから、体積変化は、ピーク強度まではなし、降伏後のみに生じるとする。

2.2 強度基準

実測結果によれば、岩石の降伏条件式は非線形になると知られてい。また、強度低下を取り扱う場合、ピーク強度は、ピーク強度とひずみが十分生じた後の終局的な残留強度（図-2の直線）との間にあることから、終局的な残留強度を基準にとって強度を表示する方が良い様に思われる。そこで、本解析では次式を提案し、これを採用了。

$$\sigma_i = N_{\phi_i} \cdot \sigma_3 + \sqrt{m \cdot \sigma_c \cdot \sigma_3 + s \cdot \sigma_c^2} \quad (\text{for peak}) \quad (2)$$

$$\sigma_i = N_{\phi_i} \cdot \sigma_3 + \sqrt{m_p \cdot \sigma_c \cdot \sigma_3 + s_p \cdot \sigma_c^2} \quad (\text{for residual}) \quad (3)$$

ここで、 $N_{\phi_i} = \tan^2(45^\circ + \phi_i/2)$ 、 m 、 s (m_p , s_p) は定数、 σ_c は 1 軸圧縮強度である。上式によれば、 m_p , s_p の値の選択により、任意のひずみに対応して、曲線又は直線の残留強度が表現される。

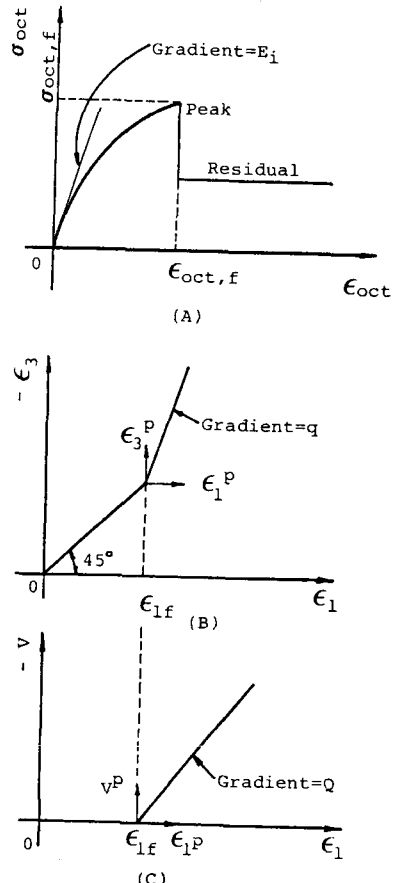


図-1 地山材料モデル

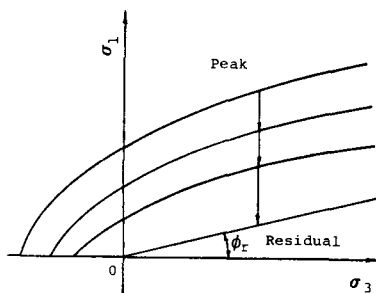


図-2 強度基準

3. 解析の概略

3.1 残留強度領域

釣り合ひ式に式(3)を代入した後、それにトネル内壁との境界条件($\sigma_f = \bar{\sigma}_f$ (内圧))を適用して解くと次式を得る。

$$\left(\frac{t_0}{\Gamma}\right) \left\{ \frac{a\sigma_f + \sqrt{b_1\sigma_f + c_1}}{a p_i + \sqrt{b_1 p_i + c_1}} \right\}^{\beta_1} \cdot \left\{ \frac{2a\sqrt{b_1\bar{\sigma}_f + c_1} + b_1 - \sqrt{4a^2c_1 + b_1^2}}{2a\sqrt{b_1\sigma_f + c_1} + b_1 - \sqrt{4a^2c_1 + b_1^2}} \right\}^{\beta_2} \\ \times \left\{ \frac{2a\sqrt{b_1\sigma_f + c_1} + b_1 + \sqrt{4a^2c_1 + b_1^2}}{2a\sqrt{b_1\bar{\sigma}_f + c_1} + b_1 + \sqrt{4a^2c_1 + b_1^2}} \right\}^{\beta_3} = 1 \quad (4)$$

ここで、 $\alpha = 1/a$, $\beta_1 = b_1/\{a\sqrt{4a^2c_1 + b_1^2}\}$, $c_1 = S_f\sigma_c^2$,

$\alpha = 2\sin\phi_f/(1-\sin\phi_f)$, $b_1 = m_f \cdot \sigma_c$.

式(4)から σ_f が求められ、これを式(3)に入れて $\sigma_\theta (= \sigma_f)$ が得られる。

3.2 ポーリング強度領域

本領域では体積変化がなく、また主せん断ひずみ速度が主せん断応力に比例するという仮定の下で、式(1)を^a釣り合ひ条件式に適用し、さらにそれに式(2)の強度基準を用いて解けば本領域の応力分布は次式で与えられる。

$$\left\{ \frac{a\sigma_f + \sqrt{b\bar{\sigma}_f + c}}{a p_i + \sqrt{b p_i + c}} \right\}^{\alpha} \cdot \left\{ \frac{2a\sqrt{b\bar{\sigma}_f + c} + b - \sqrt{4a^2c + b^2}}{2a\sqrt{b\sigma_f + c} + b - \sqrt{4a^2c + b^2}} \right\}^{\beta_2} \\ \times \left\{ \frac{2a\sqrt{b\bar{\sigma}_f + c} + b + \sqrt{4a^2c + b^2}}{2a\sqrt{b\sigma_f + c} + b + \sqrt{4a^2c + b^2}} \right\}^{\beta_3} \cdot \left\{ \frac{1}{k} \cdot \frac{A}{\Gamma^2} + 1 \right\}^{\gamma} = 1 \quad (5)$$

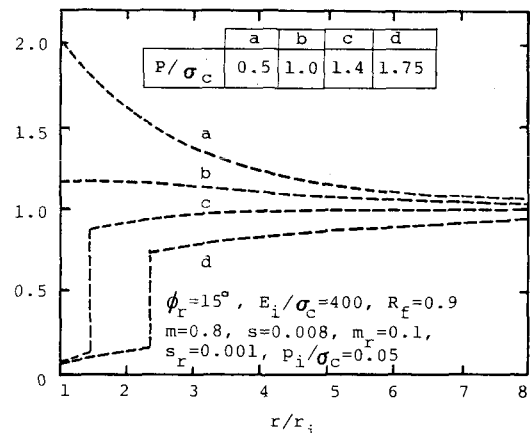


図-3 円形トネル

ここで、 $\gamma = 1/(2R_f)$, $\beta_2 = b/\{a\sqrt{4a^2c + b^2}\}$, $k = \sqrt{3} \cdot \sigma_{oct,f} / \{2R_f \cdot E_i\}$, $b = m\sigma_c$, $c = 5\sigma_c^2$, A : 定数。

3.3 両領域の境界と及び境界応力 $\bar{\sigma}_f$ の決定

$t=t_0$ におけるひずみ σ_{oct} は、図-1(A)に示す降伏ひずみ $\sigma_{oct,f}$ に達し、また両領域境界での σ_f が釣り合うという条件から、 $\bar{\sigma}_f$ と t_0 は次式で決定される。

$$\left\{ \frac{a\bar{\sigma}_f + \sqrt{b\bar{\sigma}_f + c}}{a p_i + \sqrt{b p_i + c}} \right\}^{\alpha} \cdot \left\{ \frac{2a\sqrt{b\bar{\sigma}_f + c} + b - \sqrt{4a^2c + b^2}}{2a\sqrt{b\sigma_f + c} + b - \sqrt{4a^2c + b^2}} \right\}^{\beta_2} \cdot \left\{ \frac{2a\sqrt{b\bar{\sigma}_f + c} + b + \sqrt{4a^2c + b^2}}{2a\sqrt{b\sigma_f + c} + b + \sqrt{4a^2c + b^2}} \right\}^{\beta_3} \\ \times \frac{1}{(1-R_f)^{\gamma}} - 1 = 0, \quad (6)$$

$$t_0 = t_i \left\{ \frac{a\bar{\sigma}_f + \sqrt{b_1\bar{\sigma}_f + c_1}}{a p_i + \sqrt{b_1 p_i + c_1}} \right\}^{\alpha} \cdot \left\{ \frac{2a\sqrt{b_1\bar{\sigma}_f + c_1} + b_1 - \sqrt{4a^2c_1 + b_1^2}}{2a\sqrt{b_1\sigma_f + c_1} + b_1 - \sqrt{4a^2c_1 + b_1^2}} \right\}^{\beta_2} \\ \times \left\{ \frac{2a\sqrt{b_1\bar{\sigma}_f + c_1} + b_1 + \sqrt{4a^2c_1 + b_1^2}}{2a\sqrt{b_1\sigma_f + c_1} + b_1 + \sqrt{4a^2c_1 + b_1^2}} \right\}^{\beta_3} \quad (7)$$

$\bar{\sigma}_f$ が求められたので、式(5)に含まない定数 A は容易に決定される。 $A = k t_0^2 R_f / (1-R_f)$ (8)

3.4 変位の解析

ポーリング強度領域の変位 u_p 、及び残留強度領域の変位 u_f は、図-1の関係を利用して次の様に求められる。

$$u_p = k \cdot \frac{R_f}{1-R_f} \cdot \frac{t_0^2}{\Gamma} \quad (9), \quad u_f = k \cdot \frac{R_f}{1-R_f} \cdot \frac{t}{\Gamma+1} \left\{ (\Gamma-1) + 2 \left(\frac{t_0}{\Gamma} \right)^{\Gamma+1} \right\} \quad (10)$$

解析結果の一例を図-4に示す。